生体材料鋳型による YBa₂Cu₃O₇₋₈マイクロ/ナノワイヤの合成と評価

Synthesis and characterization of YBa₂Cu₃O_{7-δ} micro- and nano-wire using bio templates °松本裕介 ¹, 的場正憲 ¹, 海住英生 ², 西井準治 ², Simon R. Hall ³, 神原陽一 ¹

(1. 慶大理工, 2. 北大電子研, 3. Univ. of Bristol)

°Yusuke Matsumoto¹, Masanori Matoba¹, Hideo Kaiju², Junji Nishii², Simon R. Hall³, Yoichi Kamihara¹

(1. Keio Univ., 2. Hokkaido Univ., 3. Univ. of Bristol)

E-mail: yusukematsumoto@keio.jp

1. 背景

銅酸化物超伝導体は結晶構造中にペロブスカイト関連構造を有し、ランタノイド等からなるキャリアブロック層と CuO_2 面からなる電気伝導層の 2 種類の層が交互に積み重なって構成される層状構造を取る[1]. 高温超伝導体多結晶の臨界電流密度(J_c)は多結晶を構成する微結晶の粒界接合の形状により J_c が大きく変化する. そのため単結晶であることが望ましい.

我々は多糖類の構造を鋳型 (バイオテンプレート)として用いた $YBa_2Cu_3O_{7-\delta}$ (YBCO)マイクロ/ナノワイヤの合成を行い、その構造を評価した.

2. 方法

 $Y(NO_3)_3 \cdot 6H_2O$ (Strem Chemicals), $Ba(NO_3)_2$ (Sigma Aldrich), $Cu(NO_3)_2 \cdot 2.5H_2O$ (Sigma Aldrich)を化学量論比で秤量し、純水と混合した. 混合した溶液中に、マイクロワイヤ[2]の場合は Dextran: $H(C_6H_{10}O_5)_xOH$ (Sigma Aldrich), ナノワイヤ[3]の場合は Chitosan: $(C_6H_{11}NO_4)_n$ (Sigma Aldrich)をそれぞれ分散させた溶液を作製し、熱処理を施すことで試料を得た.

X線回折装置 (XRD: Rigaku, RINT-2500V)を用いて結晶相の同定を行った. 走査型電子顕微鏡(SEM: Hitachi, TM3030Plus Miniscope), 透過型電子顕微鏡(TEM: FEI, Tecnai F20)により構造を観察した. エネルギー分散型 X 線分析(EDX: Bruker nano GmbH, Quantax 70, Oxford Instruments, X-Max 80T)により化学組成を評価した. 輸送現象測定を目的として収束イオンビーム(FIB: JEOL, JIB-4600F/HKD)による加工を施した.

3. 結果と考察

SEM と TEM で得た電子線像を Fig. 1 に示す. Dextran による試料はワイヤ状の構造が確認された. Chitosan による試料はマイクロワイヤより伸びる突起状の長尺方向 150 nm 程度のナノ構造が確認された. ナノワイヤはマイクロワイヤ状の YBCO から Vapor-Liquid-Solid (VLS)成長[3]を経て得られた.

XRD パターンを Fig. 2に示す. いずれの試料も主相は YBa₂Cu₃O_{7- δ}である. Fig. 2の Inset よりナノワイヤは正方晶,マイクロワイヤは斜方晶である. YBa₂Cu₃O_{7- δ}は酸素欠損により結晶構造が変化し δ < 0.5 で斜方晶, δ > 0.5 で正方晶となる[4, 5]. 即ち,ナノワイヤの酸素量は,マイクロワイヤに比べ少ない.ナノワイヤの長さは,熱処理時間と相関があると考えられる.

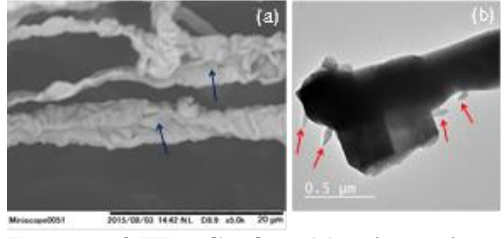


Fig. 1 Images of $YBa_2Cu_3O_{7-\delta}$ (a) micro-wire and (b) nano-wire. Blue arrows denote the micro-wire and red arrows denote the nano-wire.

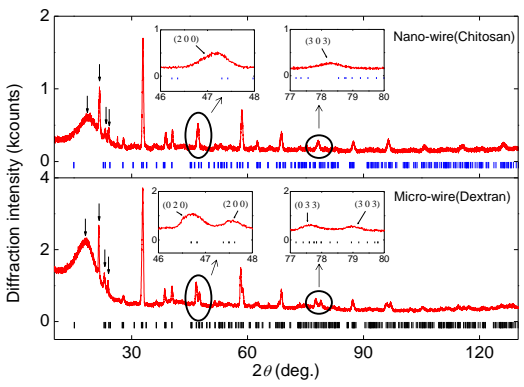


Fig. 2 XRD patterns for $YBa_2Cu_3O_{7-\delta}$ nano-wire and micro-wire. Vertical bars denote the calculated positions of Bragg diffractions for tetragonal(Blue) and orthorhombic(Black). Black arrow denote the peak of Vaseline .

4. まとめ

YBa₂Cu₃O₇₋₈ マイクロ/ナノワイヤを合成し,走査型電子顕微鏡及び透過型電子顕微鏡を用いて観察した.ナノワイヤはマイクロワイヤと比べ酸素欠損量が増加し,斜方晶から正方晶に変化した.マイクロワイヤはワイヤ状の構造が確認できた.ナノワイヤの長さと熱処理時間の相関は,今後検討する.

学会では輸送現象測定のための試行を紹介する.

参考文献

- [1] P. Benzi, et al., J. Cryst. Growth 269, 625 (2004).
- [2] D. Walsh, *et al.*, Supercond. Sci. Technol. **22**, 015026 (2009).
- [3] S. R. Hall, Adv. Mater. 18, 487 (2006)
- [4] H. Shimada, *et al.*, Japan Ceramics Academy **96**, 401 (1988)(In Japanese).
- [5] P. Burlet, et al., Physica C 153, 1115 (1988).